

АКАДЕМИЯ НАУК УКРАИНСКОЙ ССР
ОРДЕНА ТРУДОВОГО КРАСНОГО ЗНАМЕНИ ИНСТИТУТ МАТЕМАТИКИ

А.А.Березовский, В.М.Вигак, Ю.В.Жерновой

ОПТИМАЛЬНОЕ УПРАВЛЕНИЕ НЕСТАЦИОНАРНЫМ
ТЕМПЕРАТУРНЫМ ПОЛЕМ ПЛАСТИНЫ ПРИ
ЭЛЕКТРОННО-ЛУЧЕВОЙ ГАРНИСАЖНОЙ ПЛАВКЕ

Препринт 84.68

Киев - 1984

УДК 536.12:539.377

Оптимальное управление нестационарным температурным полем пластины при электронно-лучевой гарнисажной плавке: Препринт 84.68/
/Березовский А.А., Вигах В.М., Жерновой Ю.В.- К.: Ин-т математики АН УССР, 1984.- 29 с.

Исследована задача оптимального управления нестационарным температурным полем пластины в процессе плавления. Построено двухступенчатое управление, обеспечивающее заданный тепловой поток на граничной поверхности пластины. Решение задачи управления сводится к решению нестационарной задачи Стефана с нелинейными граничными условиями. Для ее решения использованы как приближенные аналитические методы, так и упрощенные математические модели, дающие возможность свести задачу к решению задачи Коши для системы нелинейных обыкновенных дифференциальных уравнений. Численное решение задачи Коши получено с помощью ЭЕМ. Приведены графики численных расчетов.

Исследование стационарного температурного поля автотигля при электронно-лучевой гарнисажной плавке показало [1, 2], что необоснованный подъем мощности электронного луча приводит к непроизводительным потерям энергии излучением и испарением. Снижение энергозатрат за плавку требует знания оптимального режима подъема мощности в процессе плавки. В настоящей работе построено оптимальное управление температурным режимом для упрощенной одномерной модельной задачи.

1. Постановка задачи.

Определение температурного поля пластины в процессе плавления сводится к решению задачи Стефана [1]:

$$\frac{\partial}{\partial x} \left(\lambda \frac{\partial u}{\partial x} \right) - c\rho \frac{\partial u}{\partial t} = -Q \frac{dx_0}{dt} \delta(x - x_0(t)), \quad 0 < x < l, \quad t > 0, \quad (1)$$

$$u(x, 0) = u_0(x), \quad u_0(l) = u_n, \quad 0 \leq x \leq l, \quad (2)$$

$$\lambda_2 \frac{\partial u(0, t)}{\partial x} = \varepsilon \sigma u^4(0, t), \quad t \geq 0, \quad (3)$$

$$\lambda_1 \frac{\partial u(l, t)}{\partial x} = q(t) - \varepsilon \sigma u^4(l, t) - \mu Q_{\text{исп}}(u(l, t)), \quad t \geq 0, \quad (4)$$

$$u(x_0(t), t) = u_n = \text{const}, \quad x_0(0) = l; \quad (5)$$

$$\lambda(x), c(x), \rho(x) = \begin{cases} \lambda_1, c_1, \rho_1, & x > x_0(t), \\ \lambda_2, c_2, \rho_2, & x < x_0(t). \end{cases}$$

Здесь $u(x, t)$ - температура; l - толщина пластины; λ_i, c_i, ρ_i - соответственно коэффициент теплопроводности, удельная теплоемкость и плотность жидкой ($i = 1, x > x_0(t)$) и твердой ($i = 2, x < x_0(t)$) фазы расплавляемого металла; $x = x_0(t)$ - граница раздела фаз (фронт плавления); ε - степень черноты, σ - постоянная Стефана-Больцмана; $u_0(x), u_n$ - начальная температура

и температура плавления; Q - скрытая теплота плавления; $q(t)$ - плотность мощности электронного луча; $Q_{исп}(u)$ - плотность теплового потока испарения [1], $\mu = 1$ - если учитываются потери тепла испарением, $\mu = 0$ - если испарение не учитывается. Теплофизические характеристики λ , c и плотность ρ предполагаются постоянными для каждой фазы металла.

Управление процессом плавления осуществляется путем изменения мощности электронного луча [1]. Поэтому в качестве функции управления выберем функцию $q(t)$. Как правило, процесс плавления металла в автотигле является дискретным во времени, т.е. мощность электронного луча представляется кусочно-постоянной функцией и изменяется до заданного максимального значения ($q(t) \leq q_m(t)$). Время выдержки расплава на каждой ступени мощности неопределено и назначается полуэмпирически, что приводит к непроизводительным потерям энергии. Поэтому возникает необходимость перехода от дискретно-временного режима подъема мощности к такому непрерывному, который привел бы к оптимизации энергозатрат за плавку, что, в свою очередь, открывает возможность автоматизации всего режима подъема мощности в процессе плавки.

При задании $q(t)$ в виде кусочно-постоянной функции тепловой поток на граничной поверхности $x=l$ на каждой ступени мощности $q(t) = q_i$, $i = 1, n$, в момент $t = t_i$ после очередного переключения управления равен

$$\lambda_1 \frac{\partial u(l, t_i)}{\partial x} = q_i - \epsilon \sigma u^4(l, t_i) - \mu Q_{исп}(u(l, t_i)) = P_i$$

и на протяжении каждого этапа управления он уменьшается в связи с возрастанием температуры $u(l, t)$. В то же время известно [3], что процесс плавления будет наискорейшим тогда, когда в каждый момент времени на границе пластины обеспечивается максимально возможный тепловой поток. Последнее условие мы и положим в основу при построении оптимального управления нестационарным температурным полем пластины.

Предположим, что начальное значение функции $q(t)$ известно: $q(0) = q_0$. Тогда тепловой поток на граничной поверхности $x=l$ пластины при $t = 0$ равен

$$\lambda_1 \frac{\partial u(l, 0)}{\partial x} = q_0 - \epsilon \sigma u_0^4 - \mu Q_{исп}(u_0) = P_0$$

При $t > 0$ функцию управления $q(t)$ определим из условия, чтобы тепловой поток на поверхности $x = \ell$ по крайней мере не уменьшался, т.е. представлялся монотонно неубывающей функцией времени $P(t) \geq P_0$

$$\lambda \frac{\partial u(\ell, t)}{\partial x} = P(t), \quad P(0) = P_0. \quad (6)$$

Итак, задачу оптимального управления, осуществляемого с помощью теплообмена по закону (4) на граничной поверхности $x = \ell$, сформулируем следующим образом: найти такую функцию управления $q(t)$, ограниченную сверху

$$q(t) \leq q_1(t), \quad (7)$$

чтобы при известном начальном значении $q(t)$: $q(0) = q_0$ и заданном тепловом потоке (6) на граничной поверхности $x = \ell$ перевести пластину из начального состояния (2) в конечное, при котором температура в заданной точке $0 < x^* < \ell$ достигала бы заданного значения (температуры плавления)

$$u(x^*, t_*) = u_n. \quad (8)$$

При этом температурное поле удовлетворяет уравнению (1), неуправляемому условию теплообмена (3) на граничной поверхности $x = 0$ и условию (5) на границе раздела фаз.

Таким образом, на граничной поверхности $x = \ell$ должно выполняться условие

$$\lambda \frac{\partial u(\ell, t)}{\partial x} = q(t) - \varepsilon \sigma u^4(\ell, t) - \mu Q_{\text{исп}}(u(\ell, t)) = P(t),$$

откуда находим искомое значение $q(t)$

$$q(t) = P(t) + \varepsilon \sigma u^4(\ell, t) + \mu Q_{\text{исп}}(u(\ell, t)). \quad (9)$$

Оптимальное управление на первом этапе нагрева будет полностью определено, если мы найдем температурное поле $u(x, t)$, решив задачу Стефана (1)-(3), (5), (6).

На втором этапе нагрева управление определяется тривиально - $q(t) = q_1(t)$, а время переключения управления $t = t_*$ находим из условия

$$P(t) + \varepsilon \sigma u^4(\ell, t) + \mu Q_{\text{исп}}(u(\ell, t)) = q_1(t). \quad (10)$$

Температурное поле на втором этапе управления находим, решив задачу Стефана (1), (3), (5) при начальном условии

$$u(x, 0) = u(x, t_*) \quad (11)$$

и граничном условии

$$u(t, t) = u_2(t), \quad (12)$$

где $u(x, t_i)$ - значение решения задачи Стефана (1)-(3), (5), (6) в момент переключения управления, а

$$u_2(t) = F^{-1}[q_1(t) - P(t)], \quad (F(u) = \varepsilon \delta u^2 + \mu Q_{\text{исп}}(u))$$

есть решение уравнения

$$q_1(t) - \varepsilon \delta u_2^2(t) - \mu Q_{\text{исп}}(u_2(t)) = P(t).$$

Время отключения управления $t = t_0$ находим из условия (8).

Получение точных аналитических решений приведенных задач Стефана не представляется возможным, поэтому построим приближенные решения, связанные как с упрощением математической модели, так и с применением приближенных методов.

2. Приближенные решения задачи Стефана (1)-(3), (5), (6).

1^o Второй метод Лейбенсона. Следуя идее этого метода, представим решение задачи Стефана в виде

$$u(x, t) = \begin{cases} u_n + u_1(t)[x - x_0(t)], & x \geq x_0(t), \\ u_n - u_2(t)[x_0(t) - x], & x \leq x_0(t), \end{cases} \quad (13)$$

и неизвестные $u_1(t)$, $u_2(t)$, $x_0(t)$ найдем, требуя, чтобы функция (13) удовлетворяла граничным условиям (3), (6) и уравнению (1), усредненному по координате

$$\int_0^l \left[\frac{\partial}{\partial x} \left(\lambda \frac{\partial u}{\partial x} \right) - c \rho \frac{\partial u}{\partial t} + Q \frac{dx_0}{dt} \delta(x - x_0(t)) \right] dx = 0,$$

которое для функции (13) упрощается к виду

$$\left[\lambda \frac{\partial u}{\partial x} \right]_{x=x_0(t)} - \int_0^l c \rho \frac{\partial u}{\partial t} dx + Q \frac{dx_0}{dt} = 0, \quad (14)$$

где $[f(x, t)]_{x=x_0(t)}$ обозначает скачок функции $f(x, t)$ в точке $x = x_0(t)$.

Подставляя (13) в граничные условия (3), (6), получаем соотношения

$$u_1(t) = P^*(t), \quad P^*(t) = P(t)/\lambda, \quad (15)$$

$$u_2(t) = \alpha_2 [u_n - u_1(t)x_0(t)]^2, \quad \alpha_2 = \varepsilon \delta / \lambda_2. \quad (16)$$

Дифференцируя (16), находим

$$\frac{d u_2}{d t} = - \frac{4 \alpha_2 u_2 (u_n - u_2 x_0)^3 \dot{x}_0}{1 + 4 \alpha_2 x_0 (u_n - u_2 x_0)^2}, \quad (17)$$

где \dot{x}_0 обозначает производную по t . После подстановки (13) в (14) и исключения $\dot{u}_2(t)$ с помощью (17) приходим к системе нелинейных обыкновенных дифференциальных уравнений для определения $x_0(t)$ и $u_2(t)$

$$\begin{aligned} \dot{x}_0 &= f_1(t, x_0, u_2), \quad \dot{u}_2 = f_2(t, x_0, u_2), \\ x_0(0) &= l, \quad u_2(0) = (u_n - z_0)/l. \end{aligned} \quad (18)$$

Здесь

$$f_1 = \frac{[1 + 4 \alpha_2 x_0 (u_n - u_2 x_0)^2] [c_1 \beta_1 P^*(l - x_0)^2 + 2(\lambda_2 u_2 - P)]}{2c_1 \beta_1 P^*(l - x_0) + c_2 \beta_2 u_2 x_0 + 2Q + 8 \alpha_2 x_0 (u_n - u_2 x_0)^2 [c_1 \beta_1 P^*(l - x_0) + Q]},$$

$$f_2 = - \frac{4 \alpha_2 u_2 (u_n - u_2 x_0)^3 f_1(t, x_0, u_2)}{1 + 4 \alpha_2 x_0 (u_n - u_2 x_0)^2},$$

$z = z_0$ - положительный корень алгебраического уравнения

$$l \alpha_2 z^4 + z - u_n = 0,$$

которое получено из соотношения (16) при $t = 0$.

Решение задачи Коши (18) для нелинейной системы дифференциальных уравнений первого порядка может быть получено одним из численных методов с помощью ЭВМ.

Используя приближенное решение (13), по формуле (9) находим управление на первом этапе нагрева

$$q(t) = P(t) + \epsilon b [u_n + P^*(t)(l - x_0(t))]^2 + \mu Q_{\text{иск}} [u_n + P^*(t)(l - x_0(t))]. \quad (19)$$

2^o Метод осреднения функциональных поправок. Перепишем задачу Стефана (1)-(3), (5), (6) в виде

$$\frac{\partial^2 u_1}{\partial x^2} - \frac{1}{a_1^2} \frac{\partial u_1}{\partial t} = 0, \quad x_0(t) < x < l, \quad t > 0, \quad (20)$$

$$\frac{\partial^2 u_2}{\partial x^2} - \frac{1}{a_2^2} \frac{\partial u_2}{\partial t} = 0, \quad 0 < x < x_0(t), \quad t > 0, \quad (21)$$

$$u_2(x, 0) = u_0(x), \quad u_0(l) = u_n, \quad 0 \leq x \leq l, \quad (22)$$

$$\frac{\partial u_2(0,t)}{\partial x} = \alpha_2 u_2'(0,t), \quad \frac{\partial u_2(l,t)}{\partial x} = P^*(t), \quad t \geq 0, \quad (23)$$

$$u_1(x_0(t), t) = u_2(x_0(t), t) = u_n,$$

$$\lambda_2 \frac{\partial u_2(x_0(t), t)}{\partial x} - \lambda_1 \frac{\partial u_1(x_0(t), t)}{\partial x} = Q \frac{dx_0}{dt}, \quad (24)$$

где $\alpha_i^2 = \lambda_i / (c_i \rho_i)$, $i = 1, 2$. Согласно методу осреднения функциональных поправок [4, 5] приближенное решение задачи (20)-(24) ищем как решение последовательности задач Стефана для уравнений:

$$\frac{\partial^2 u_{i,n}}{\partial x^2} = \frac{1}{\alpha_i^2} \frac{\partial u_{i,n-1}}{\partial t} + f_{i,n}(t), \quad \begin{array}{l} i=1, \quad x_{0,n}(t) < x < l, \quad t > 0, \\ i=2, \quad 0 < x < x_{0,n}(t), \quad t > 0, \end{array}$$

где

$$f_{1,n}(t) = \frac{1}{\alpha_1^2 [l - x_{0,n}(t)]} \int_{x_{0,n}(t)}^l \frac{\partial}{\partial t} (u_{1,n} - u_{1,n-1}) dx,$$

$$f_{2,n}(t) = \frac{1}{\alpha_2^2 x_{0,n}(t)} \int_0^{x_{0,n}(t)} \frac{\partial}{\partial t} (u_{2,n} - u_{2,n-1}) dx, \quad n = 1, 2, \dots$$

В первом приближении ($n = 1$) вместо уравнений (20), (21) рассмотрим следующие:

$$\frac{\partial^2 u_1}{\partial x^2} = f_1(t), \quad x_0(t) < x < l, \quad t > 0, \quad (25)$$

$$\frac{\partial^2 u_2}{\partial x^2} = f_2(t), \quad 0 < x < x_0(t), \quad t > 0, \quad (26)$$

где

$$f_1(t) = \frac{1}{\alpha_1^2 [l - x_0(t)]} \int_{x_0(t)}^l \frac{\partial u_1(x,t)}{\partial t} dx, \quad (27)$$

$$f_2(t) = \frac{1}{\alpha_2^2 x_0(t)} \int_0^{x_0(t)} \frac{\partial u_2(x,t)}{\partial t} dx.$$

Интегрируя дважды уравнения (25), (26), получаем

$$u_1(x, t) = C_1(t)x + C_2(t) + x^2 f_1(t)/2, \quad x_0(t) \leq x \leq l, \quad (28)$$

$$u_2(x, t) = C_3(t)x + C_4(t) + x^2 f_2(t)/2, \quad 0 \leq x \leq x_0(t). \quad (29)$$

Подставляя (28) и (29) в граничные условия (23), условия сопряжения (24) и равенства (27), находим

$$C_1(t) = P^*(t) - l f_1(t), \quad (30)$$

$$C_2(t) = \{2[u_x - x_0(t)C_1(t)] - x_0^2(t)f_1(t)\}/2, \quad C_3(t) = x_2 C_4'(t),$$

а для определения $x_0(t)$, $f_1(t)$, $f_2(t)$, $C_4(t)$ получаем систему нелинейных обыкновенных дифференциальных уравнений

$$\begin{aligned} \dot{x}_0 &= \psi(t, x_0, f_1, f_2, C_4), & \dot{f}_1 &= \varphi_1(t, x_0, f_1, f_2, C_4), \\ \dot{f}_2 &= \varphi_2(t, x_0, f_1, f_2, C_4), & \dot{C}_4 &= -\frac{2(x_2 C_4' + x_0 f_2)y + x_0^2 \varphi_2}{2(1 + 4x_2 x_0 C_4^2)}, \end{aligned} \quad (31)$$

где введены обозначения:

$$y = \{\lambda_2(x_0 f_2 + x_2 C_4') - \lambda_1[P^* - (l - x_0)f_1]\}/Q,$$

$$\varphi_1 = \frac{3\{(l - x_0)P^* - 2x_0^2 f_1 - 2[P^* - (l - x_0)f_1]y\}}{2(l - x_0)^2},$$

$$\varphi_2 = -\frac{3[x_2^2 f_2(1 + 4x_2 x_0 C_4^2) + (1 + 2x_2 x_0 C_4^2)(x_2 C_4' + x_0 f_2)y]}{x_0^2(1 + x_2 x_0 C_4^2)}.$$

Систему дифференциальных уравнений (31) следует интегрировать при начальных условиях

$$x_0(0) = l, \quad f_1(0) = -\frac{P^*(0)}{\alpha_1 Q} \{\lambda_2[l f_2(0) + x_2 C_4'(0)] - P(0)\}, \quad (32)$$

где значения $f_2(0)$ и $C_4(0)$ найдем из начального условия (22):

$$\frac{f_2(0)}{2} x^2 + C_4(0) [1 + \alpha_2 C_4^3(0) x] = u_0(x). \quad (33)$$

С помощью приближенного решения (28) определяем управление на первом этапе нагрева

$$q(t) = P(t) + \varepsilon \sigma [C_1(t)l + C_2(t) + l^2 f_1(t)/2]^4 + \mu Q_{\text{исп}} [C_1(t)l + C_2(t) + l^2 f_1(t)/2]. \quad (34)$$

3°. Проекционно-сеточный метод.

Чтобы упростить уравнение (1), применим к нему преобразование Кирхгофа [6], введем новую функцию

$$v(x, t) = \int_0^{u(x, t)} \lambda(z) dz. \quad (35)$$

Тогда, очевидно,

$$\frac{\partial v}{\partial x} = \lambda \frac{\partial u}{\partial x}$$

и для функций $u(x, t)$ и $v(x, t)$ справедливы соотношения:

$$v = \begin{cases} \lambda_2 u, & u \leq u_n, \\ \lambda_2 u_n + \lambda_1 (u - u_n), & u \geq u_n; \end{cases}$$

$$u = \frac{1}{\lambda_2} \begin{cases} v, & v \leq v_n = \lambda_2 u_n, \\ v_n + \lambda_2 (v - v_n) / \lambda_1, & v \geq v_n; \end{cases}$$

$$u'(v) = \begin{cases} 1/\lambda_2, & v < v_n, \quad x < x_0(t), \\ 1/\lambda_1, & v > v_n, \quad x > x_0(t), \end{cases}$$

с учетом которых задача Стефана (1)-(3), (5), (6) преобразуется к виду

$$\frac{\partial^2 v}{\partial x^2} - c p u'(v) \frac{\partial v}{\partial t} = -Q \frac{dx_0}{dt} \delta(x - x_0(t)), \quad 0 < x < l, \quad t > 0, \quad (36)$$

$$v(x, 0) = \lambda_2 u_0(x) = v_0(x), \quad v_0(l) = v_n, \quad 0 \leq x \leq l, \quad (37)$$

$$\frac{\partial v(0,t)}{\partial x} = \frac{\varepsilon\sigma}{\lambda_2^2} v'(0,t), \quad \frac{\partial v(l,t)}{\partial x} = P(t), \quad t \geq 0, \quad (38)$$

$$v(x_0(t), t) = v_n, \quad x_0(0) = l. \quad (39)$$

При дальнейшем исследовании задачи (36)-(39) целесообразно перейти к рассмотрению эквивалентного интегро-дифференциального уравнения. Для этого воспользуемся второй формулой Грина

$$\int_0^l (v \frac{\partial^2 w}{\partial x^2} - w \frac{\partial^2 v}{\partial x^2}) dx = (v \frac{\partial w}{\partial x} - w \frac{\partial v}{\partial x}) \Big|_{x=0}^{x=l} \quad (40)$$

и обобщенной функцией Грина

$$G(x, \xi) = \begin{cases} -\frac{x^2 + \xi^2}{2l} + \xi - \frac{l}{3}, & 0 \leq x \leq \xi, \\ -\frac{x^2 + \xi^2}{2l} + x - \frac{l}{3}, & \xi \leq x \leq l, \end{cases} \quad (41)$$

являющейся решением краевой задачи

$$\frac{\partial^2 G}{\partial x^2} = \delta(x - \xi) - \frac{1}{l}, \quad 0 < x, \xi < l, \quad (42)$$

$$\frac{\partial G(0, \xi)}{\partial x} = \frac{\partial G(l, \xi)}{\partial x} = 0,$$

$$\int_0^l G(x, \xi) dx = \int_0^l G(x, \xi) d\xi = 0.$$

Полагая в (40) $w = G$ и учитывая (36), (38) и (42), получаем нелинейное интегро-дифференциальное уравнение

$$v(x, t) = \frac{1}{l} \int_0^l v(\xi, t) d\xi + \frac{\varepsilon\sigma}{\lambda_2^2} G(x, 0) v'(0, t) - G(x, l) P(t) + \int_0^l c p u'(v) G(x, \xi) \frac{\partial v(\xi, t)}{\partial t} d\xi - Q G(x, x_0(t)) \dot{x}_0, \quad (43)$$

которое следует рассматривать вместе с начальным условием (37) и условием (39) на подлежащей определению границе раздела фаз $\bar{x} = x_0(t)$

Для построения приближенного решения полученного нелинейного интегро-дифференциального уравнения весьма эффективным является проекционно-сеточный метод [7], позволяющий осуществить редукцию задачи (43), (37), (39) к задаче Коши для системы нелинейных обыкновенных дифференциальных уравнений. Это достигается кусочно-постоянной по координате аппроксимацией

$$v(x, t) \approx v_h(x, t) = \sum_{i=1}^{N+M} v_i(t) \varphi_i(x, x_0(t)), \quad (44)$$

где

$$\varphi_i(x, x_0(t)) = \zeta(x - x_{i-1}(t)) - \zeta(x - x_i(t)), \quad i = \overline{1, N+M},$$

$$x_i(t) = \begin{cases} i x_0(t) / N, & i = \overline{1, N}; \\ x_0(t) + (i-N)[l - x_0(t)] / M, & i = \overline{N+1, N+M}, \end{cases}$$

$\zeta(x-x_j)$ - функция Хевисайда, и использованием метода Бубнова-Галеркина при определении средних на соответствующих интервалах разбиения значений искомой функции $v_i(t)$. Узловые точки $x_i(t)$ такой сетки являются функциями времени, а производная координатных функций $\varphi_i(x, x_0(t))$ по t определяется с помощью дельта-функции Дирака

$$\dot{\varphi}_i(x, x_0(t)) = \dot{x}_{i-1}(t) \delta(x - x_{i-1}(t)) - \dot{x}_i(t) \delta(x - x_i(t)),$$

$$\dot{x}_i(t) = \begin{cases} i \dot{x}_0(t) / N, & i = \overline{1, N}; \\ (M+N-i) \dot{x}_0(t) / M, & i = \overline{N+1, N+M}. \end{cases}$$

При $v(x, t) = v_h(x, t)$ после умножения уравнения (43) и начального условия (37) на $\varphi_i(x, x_0(t))$, $i = \overline{1, N+M}$, и интегрирования по \mathcal{X} в пределах от 0 до l , а также использования условия (39) приходим к задаче Коши для системы нелинейных обыкновенных дифференциальных уравнений относительно $W(t) = (v_1(t), \dots, v_{N+M}(t), x_0(t))$

$$A(W) \dot{W} = B(t, W), \quad W(0) = C, \quad (45)$$

Здесь

$$A = (A_{ij})_{i,j=1}^{N+M+1}, \quad B = (B_i)_{i=1}^{N+M+1}, \quad C = (C_i)_{i=1}^{N+M+1},$$

$$x_{ij}(x_0(t)) = \int_{x_{i-1}(t)}^{x_i(t)} \Phi_j(x, x_0(t)) dx, \quad i, j = \overline{1, N+M}, \quad x_{j-1}(t) = 0,$$

$$x_{N+M+1, j}(x_0(t)) = \Phi_j(x_0(t), x_0(t)), \quad j = \overline{1, N+M},$$

$$x_{i, N+M+1}(w(t)) = \sum_{j=1}^{N+M} f_{ij}(x_0(t)) v_j(t) - Q G_i(x_0(t)), \quad i = \overline{1, N+M},$$

$$F_{ij}(x_0(t)) = \int_{x_{i-1}(t)}^{x_i(t)} F_j(x, x_0(t)) dx, \quad G_i(s) = \int_{x_{i-1}(t)}^{x_i(t)} G(x, s) dx,$$

$$x_{N+M+1, N+M+1}(w(t)) = \sum_{i=1}^{N+M} F_i(x_0(t), x_0(t)) v_i(t) - Q G(x_0(t), x_0(t));$$

$$B_i(t, w(t)) = [x_i(t) - x_{i-1}(t)] \left\{ v_i(t) - \frac{1}{l} \sum_{j=1}^{N+M} [x_j(t) - x_{j-1}(t)] v_j(t) \right\} +$$

$$+ G_i(t) P(t) - \varepsilon \sigma G_i(0) v_i^2(t) / \lambda_i^2, \quad i = \overline{1, N+M},$$

$$B_{N+M+1}(t, w(t)) = v_n - \frac{1}{l} \sum_{i=1}^{N+M} [x_i(t) - x_{i-1}(t)] v_i(t) + \quad (46)$$

$$+ G(x_0(t), l) P(t) - \varepsilon \sigma G(x_0(t), 0) v_i^2(t) / \lambda_i^2;$$

$$C_i = \frac{N}{l} \int_{x_{i-1}(0)}^{x_i(0)} v_0(x) dx, \quad i = \overline{1, N}; \quad C_i = v_n, \quad i = \overline{N+1, N+M}; \quad C_{N+M+1} = l;$$

$$F_i(x, x_0(t)) = \begin{cases} \frac{1}{\alpha_i^2 N} [(l-1)G(x, x_{i-1}(t)) - lG(x, x_i(t))], & i = \overline{1, N}, \\ \frac{1}{\alpha_i^2 M} [(N+M+1-i)G(x, x_i(t)) - (N+M-i)G(x, x_i(t))], & i = \overline{N+1, N+M}, \end{cases}$$

$$\Phi_i(x, x_0(t)) = \frac{1}{\alpha_i^2} \int_{x_{i-1}(t)}^{x_i(t)} G(x, z) dz, \quad i = \overline{1, N},$$

$$\Phi_i(x, x_0(t)) = \frac{1}{\alpha_i^2} \int_{x_{i-1}(t)}^{x_i(t)} G(x, z) dz, \quad i = \overline{N+1, N+M}.$$

Систему (45) можно записать в разрешенном относительно производных виде

$$\dot{w} = \mathcal{D}(t, w), \quad w(0) = C, \quad (47)$$

где

$$\mathcal{D} = (\mathcal{D}_i)_{i=1}^{N+M+1}, \quad \mathcal{D}_i = \det R_i / \det A,$$

$$R_\kappa = (R_{\kappa, ij})_{i, j=1}^{N+M+1}, \quad \kappa = \overline{1, N+M+1},$$

$$R_{\kappa, ij} = \begin{cases} \mathcal{A}_{ij}, & j \neq \kappa, \\ B_i, & j = \kappa, \end{cases} \quad \mathcal{A}_{ij} = \mathcal{A}_{ji}, \quad i, j = \overline{1, N+M},$$

$$\mathcal{A}_{ij} = \frac{1}{6\alpha_i^2 \ell} (x_i - x_{i-1})(x_j - x_{j-1}) [3\ell(x_j + x_{j-1}) - x_i^2 - x_{i-1}^2 - x_i x_{i-1} - x_j^2 - x_{j-1}^2 - x_j x_{j-1} - 2\ell^2], \quad j = \overline{1, N}, \quad i \leq j-1,$$

$$\mathcal{A}_{ij} = \frac{1}{6\alpha_i^2 \ell} (x_i - x_{i-1})(x_j - x_{j-1}) [3\ell(x_j + x_{j-1}) - x_i^2 - x_{i-1}^2 - x_i x_{i-1} - x_j^2 - x_{j-1}^2 - x_j x_{j-1} - 2\ell^2], \quad j = \overline{N+1, N+M}, \quad i \leq j-1,$$

$$\mathcal{A}_{ii} = \frac{x_i - x_{i-1}}{3\alpha_i^2 \ell} [\ell(2x_i^2 - x_{i-1}^2) - \ell x_i x_{i-1} - (x_i - x_{i-1})(x_i^2 + x_{i-1}^2 + x_i x_{i-1} + \ell^2)], \quad i = \overline{1, N}.$$

$$A_{ii} = \frac{1}{3a_i^2 l} (x_i - x_{i-1}) [l(2x_i^2 - x_{i-1}^2 - x_i x_{i-1}) - (x_i - x_{i-1})(x_i^2 + x_{i-1}^2 + x_i x_{i-1} + l^2)], \quad i = \overline{N+1, N+M},$$

$$A_{N+M+1, j} = \frac{x_j - x_{j-1}}{6a_i^2 l} (6lx_j - 3x_j^2 - x_j^2 - x_{j-1}^2 - x_j x_{j-1} - 2l^2), \quad j = \overline{1, N},$$

$$A_{N+M+1, j} = \frac{x_j - x_{j-1}}{6a_i^2 l} [3l(x_j + x_{j-1}) - 3x_j^2 - x_j^2 - x_{j-1}^2 - x_j x_{j-1} - 2l^2], \quad j = \overline{N+1, N+M},$$

$$A_{i, N+M+1} = \sum_{j=1}^{N+M} F_{ij} v_j - Q G_i(x_0), \quad i = \overline{1, N+M},$$

$$F_{ij} = \frac{x_i - x_{i-1}}{6a_i^2 N l} [(j-1)(6lx_{j-1} - 3x_{j-1}^2 - x_i^2 - x_{i-1}^2 - x_i x_{i-1} - 2l^2) - j(6lx_j - 3x_j^2 - x_i^2 - x_{i-1}^2 - x_i x_{i-1} - 2l^2)], \quad j = \overline{1, N}, \quad i \leq j-1,$$

$$F_{ii} = \frac{x_i - x_{i-1}}{6a_i^2 N l} \{ (i-1)[3l(x_i + x_{i-1}) - x_i^2 - 4x_{i-1}^2 - x_i x_{i-1} - 2l^2] - i(6lx_i - 4x_i^2 - x_{i-1}^2 - x_i x_{i-1} - 2l^2) \}, \quad i = \overline{1, N},$$

(48)

$$F_{ij} = \frac{x_i - x_{i-1}}{6a_i^2 N l} \{ (j-1)[3l(x_i + x_{i-1}) - x_i^2 - x_{i-1}^2 - x_i x_{i-1} - 3x_{j-1}^2 - 2l^2] - j[3l(x_i + x_{i-1}) - x_i^2 - x_{i-1}^2 - x_i x_{i-1} - 3x_j^2 - 2l^2] \}, \quad j = \overline{1, N}, \quad i > j,$$

$$F_{ij} = \frac{x_i - x_{i-1}}{6a_i^2 M l} [(M+N+1-j)(6lx_{j-1} - 3x_{j-1}^2 - x_i^2 - x_{i-1}^2 - x_i x_{i-1} - 2l^2) - (M+N-j)(6lx_j - 3x_j^2 - x_i^2 - x_{i-1}^2 - x_i x_{i-1} - 2l^2)],$$

$$j = \overline{N+1, N+M}, \quad i \leq j-1,$$

$$F_{ii} = \frac{x_i - x_{i-1}}{6a_i^2 M l} \left\{ (M+N+1-i) [3l(x_i + x_{i-1}) - x_i^2 - 4x_{i-1}^2 - x_i x_{i-1} - 2l^2] - \right. \\ \left. - (M+N-i)(6lx_i - 4x_i^2 - x_{i-1}^2 - x_i x_{i-1} - 2l^2) \right\}, \quad i = \overline{N+1, N+M},$$

$$F_{ij} = \frac{x_i - x_{i-1}}{6a_i^2 M l} \left\{ (M+N+1-j) [3l(x_i + x_{i-1}) - x_i^2 - x_{i-1}^2 - x_i x_{i-1} - 3x_{i-1}^2 - 2l^2] - \right. \\ \left. - (M+N-j) [3l(x_i + x_{i-1}) - x_i^2 - x_{i-1}^2 - x_i x_{i-1} - 3x_i^2 - 2l^2] \right\}, \\ j = \overline{N+1, N+M}, \quad i > j;$$

$$G_i(x_0) = \frac{x_i - x_{i-1}}{6l} (6lx_0 - 3x_0^2 - x_i^2 - x_{i-1}^2 - x_i x_{i-1} - 2l^2), \quad i = \overline{1, N},$$

$$G_i(x_0) = \frac{x_i - x_{i-1}}{6l} [3l(x_i + x_{i-1}) - x_i^2 - x_{i-1}^2 - x_i x_{i-1} - 3x_0^2 - 2l^2], \quad i = \overline{N+1, N+M};$$

$$A_{N+M+1, N+M+1} = \sum_{i=1}^{N+M} F_i(x_0, x_0) \eta_i - QG(x_0, x_0),$$

$$F_i(x_0, x_0) = \frac{1}{6a_i^2 N l} [(i-1)(6lx_0 - 3x_0^2 - 3x_{i-1}^2 - 2l^2) - \\ - i(6lx_0 - 3x_0^2 - 3x_i^2 - 2l^2)], \quad i = \overline{1, N},$$

$$F_i(x_0, x_0) = \frac{1}{6a_i^2 M l} [(M+N+1-i)(6lx_{i-1} - 3x_{i-1}^2 - 3x_0^2 - 2l^2) - \\ - (M+N-i)(6lx_i - 3x_i^2 - 3x_0^2 - 2l^2)], \quad i = \overline{N+1, N+M},$$

$$C(x_0, x_0) = [2x_0(l - x_0) - l^2] / (3l).$$

Элементы B_i , $i = \overline{1, N+M+1}$, определяются согласно (46), где

$$G_i(l) = \frac{x_i - x_{i-1}}{6l} (l^2 - x_i^2 - x_{i-1}^2 - x_i x_{i-1}), \quad i = \overline{1, N+M},$$

$$G_i(0) = \frac{x_i - x_{i-1}}{6l} [3l(x_i + x_{i-1}) - x_i^2 - x_{i-1}^2 - x_i x_{i-1} - 2l^2], \quad i = \overline{1, N+M},$$

$$G(x_0, l) = \frac{1}{6l} (l^2 - 3x_0^2), \quad G(x_0, 0) = \frac{1}{6l} (6lx_0 - 3x_0^2 - 2l^2). \quad (49)$$

Управление на первом этапе нагрева, найденное с помощью приближенного решения (44), определяется в виде

$$q(t) = P(t) + \varepsilon \sigma \{ \lambda_1 v_n + \lambda_2 [v_{N+M}(t) - v_n] \}^2 / (\lambda_1 \lambda_2)^2 +$$

$$+ \mu Q_{\text{исп}} (\{ \lambda_1 v_n + \lambda_2 [v_{N+M}(t) - v_n] \} / \lambda_2). \quad (50)$$

3. Приближенные решения задачи Стефана (1), (3), (5), (11), (12).

1°. Второй метод Лейбенсона. Приближенное решение задачи ищем в виде (13). После подстановки (13) в граничные условия (3), (12) получаем

$$u_1(t) = \frac{u_2(t) - u_n}{l - x_0(t)}, \quad u_2(t) = x_2 [u_n - u_2(t) x_0(t)]^2. \quad (51)$$

Дифференцируя эти равенства, находим

$$\dot{u}_1 = \frac{(l - x_0)\dot{u}_2 + (u_2 - u_n)\dot{x}_0}{(l - x_0)^2}, \quad \dot{u}_2 = - \frac{4x_2 u_2 (u_n - u_2 x_0)\dot{x}_0}{1 + 4x_2 x_0 (u_n - u_2 x_0)^2}. \quad (52)$$

Подставляя (13) в (14) и исключая \dot{u}_1 и \dot{u}_2 с помощью (52), приходим к системе нелинейных обыкновенных дифференциальных уравнений для определения $x_0(t)$ и $u_2(t)$

$$\dot{x}_0 = g_1(t, x_0, u_2), \quad \dot{u}_2 = g_2(t, x_0, u_2), \quad (53)$$

$$x_0(0) = x_{01}, \quad u_2(0) = u_{21}.$$

Здесь

$$g_1 = \left\{ [1 + 4x_2 x_0 (u_n - u_2 x_0)^3] [c_1 \rho_1 (l - x_0) \dot{u}_p + 2(\lambda_2 u_2 - \lambda_1 u_1)] \right\} /$$

$$/ \left\{ 2c_1 \rho_1 u_1 (l - x_0) + c_2 \rho_2 u_2 x_0 + 2Q + 8x_2 x_0 (u_n - u_2 x_0)^3 \times \right.$$

$$\left. \times [c_1 \rho_1 u_1 (l - x_0) + Q] - c_1 \rho_1 (u_2 - u_n) [1 + 4x_2 x_0 (u_n - u_2 x_0)^3] \right\},$$

$$g_2 = - \frac{4x_2 u_2 (u_n - u_2 x_0)^3 g_1(t, x_0, u_2)}{1 + 4x_2 x_0 (u_n - u_2 x_0)^3},$$

x_{01}, u_{21} - значения решений задачи Коши (18) в момент переключения управления $t = t_1$, определяемый из условия

$$P(t) + \varepsilon \sigma [u_n + P^*(t)(l - x_0(t))]^4 + \mu Q_{\text{вкл}} [u_n + P^*(t)(l - x_0(t))] = g_1(t). \quad (54)$$

2°. Метод осреднения функциональных поправок. Перепишем задачу Стефана (1), (3), (5), (II), (I2) в виде

$$\frac{\partial^2 u_1}{\partial x^2} - \frac{1}{a_1^2} \frac{\partial u_1}{\partial t} = 0, \quad x_0(t) < x < l, \quad t > 0,$$

$$\frac{\partial^2 u_2}{\partial x^2} - \frac{1}{a_2^2} \frac{\partial u_2}{\partial t} = 0, \quad 0 < x < x_0(t), \quad t > 0, \quad (55)$$

$$u_2(x, 0) = u_{21}(x), \quad 0 \leq x \leq l, \quad (56)$$

$$\frac{\partial u_2(0, t)}{\partial x} = x_2 u_2^4(0, t), \quad u_1(l, t) = u_1(t), \quad t \geq 0, \quad (57)$$

$$u_1(x_0(t), t) = u_2(x_0(t), t) = u_n,$$

$$\lambda_2 \frac{\partial u_2(x_0(t), t)}{\partial x} - \lambda_1 \frac{\partial u_1(x_0(t), t)}{\partial x} = Q \frac{dx_0}{dt},$$

где $u_{21}(x)$ - значение решения задачи Стефана (20)-(24) в момент переключения управления. Следуя идее метода осреднения

функциональных поправок, в первом приближении заменяем уравнения (55) на приближенные

$$\frac{\partial^2 u_1}{\partial x^2} = g_1(t), \quad x_0(t) < x < l, \quad t > 0, \quad (58)$$

$$\frac{\partial^2 u_2}{\partial x^2} = g_2(t), \quad 0 < x < x_0(t), \quad t > 0,$$

где

$$g_1(t) = \frac{1}{\alpha_1^2 [l - x_0(t)]} \int_{x_0(t)}^l \frac{\partial u_1(x, t)}{\partial t} dx,$$

$$g_2(t) = \frac{1}{\alpha_2^2 x_0(t)} \int_0^{x_0(t)} \frac{\partial u_2(x, t)}{\partial t} dx,$$

после интегрирования которых находим

$$u_1(x, t) = D_1(t)x + D_2(t) + x^2 g_1(t)/2, \quad x_0(t) \leq x \leq l, \quad (59)$$

$$u_2(x, t) = D_3(t)x + D_4(t) + x^2 g_2(t)/2, \quad 0 \leq x \leq x_0(t). \quad (60)$$

Здесь

$$D_1(t) = \frac{2[u_2(t) - u_n] - [l^2 - x_0^2(t)]g_1(t)}{2[l - x_0(t)]} \quad (61)$$

$$D_2(t) = \{2[u_n - D_1(t)x_0(t)] - x_0^2(t)g_1(t)\}/2, \quad D_3(t) = x_2 D_4^*(t),$$

а функции $x_0(t)$, $g_1(t)$, $g_2(t)$, $D_4(t)$ определяются из системы нелинейных обыкновенных дифференциальных уравнений

$$\dot{x}_0 = \xi(t, x_0, g_1, g_2, D_4), \quad \dot{g}_1 = \Psi_1(t, x_0, g_1, g_2, D_4),$$

$$\dot{g}_2 = \Psi_2(t, x_0, g_1, g_2, D_4), \quad (62)$$

$$\dot{D}_4 = -\frac{2(x_2 D_4^* + x_0 g_2)\xi + x_0^2 \Psi_2}{2(1 + 4x_2 x_0 D_4^*)},$$

где

$$\xi = [\lambda_2(x_0 g_2 + x_2 D_4^*) - \lambda_1(x_0 g_1 + D_1)]/Q,$$

$$\psi_1 = \frac{6(l-x_0)(\dot{u}_1 - 2\alpha_1^2 g_1) - 3z[2(u_1 - u_n) - (l-x_0)^2 g_1]}{(l-x_0)^3},$$

$$\psi_2 = -\frac{3[\alpha_2^2 g_2(1+4x_2 x_0 \mathcal{D}_4^2) + (1+2x_2 x_0 \mathcal{D}_4^2)(x_2 \mathcal{D}_4^2 + x_0 g_2)z]}{\alpha_0^2(1+x_2 x_0 \mathcal{D}_4^2)}.$$

Начальные условия для системы (62) следуют из условия (56) и с учетом вида решений (28), (29) и (59), (60) принимают вид

$$x_0(0) = x_0, \quad g_1(0) = f_1(t_1), \quad g_2(0) = f_2(t_1), \quad \mathcal{D}_4(0) = C_4(t_1), \quad (63)$$

где $x_{01} = x_0(t_1)$ - значение решения $x_0(t)$ системы (31) в момент переключения управления $t = t_1$, определяемый из условия

$$P(t) + \varepsilon \delta [C_1(t)l + C_2(t) + l^2 f_1(t)/2]^4 + \mu Q_{\text{учн.}} [C_1(t)l + C_2(t) + l^2 f_1(t)/2] = q_1(t). \quad (64)$$

3°. Проекционно-сеточный метод.

После применения преобразования Кирхгофа задача Стефана (1), (3), (5), (11), (12) приводится к виду

$$\frac{\partial^2 v}{\partial x^2} - c \rho u'(v) \frac{\partial v}{\partial t} = -Q \frac{dx_0}{dt} \delta(x - x_0(t)), \quad 0 < x < l, \quad t > 0,$$

$$v(x, 0) = v_0(x), \quad 0 \leq x \leq l,$$

$$\frac{\partial v(0, t)}{\partial x} = \frac{\varepsilon \delta}{\lambda_2^4} v^4(0, t), \quad v(l, t) = v_l(t), \quad t \geq 0, \quad (65)$$

$$v(x_0(t), t) = v_n, \quad x_0(0) = x_{01},$$

где

$$\dot{v}_l(t) = \lambda_2 u_n + \lambda_1 [u_1(t) - u_n], \quad v_0(x) = v(x, t_1),$$

$x_{01} = x_0(t_1)$, $v(x, t_1)$ - значение решения задачи Стефана (36)-(39) в момент переключения управления. Задача Стефана (65) сводится к эквивалентной:

$$v(x,t) = \frac{\varepsilon \sigma}{\lambda_2^2} K(x,0) v^*(0,t) + \frac{\partial K(x,\ell)}{\partial z} v_f(t) + \int_0^{\ell} \sigma v'(v) K(x,z) \frac{\partial v(z,t)}{\partial t} dz - Q K(x, x_0(t)) \frac{dx_0}{dt}, \quad (66)$$

$$v(x,0) = v_0(x), \quad v(x_0(t),t) = v_n,$$

где $K(x,z)$ - функция Грина, определяемая из условий

$$\frac{\partial^2 K}{\partial x^2} = \delta(x-z), \quad 0 < x, z < \ell, \\ \frac{\partial K(0,z)}{\partial x} = 0, \quad K(\ell,z) = 0; \quad (67)$$

$$K(x,z) = \begin{cases} z-l, & 0 \leq x \leq z, \\ x-l, & z \leq x \leq \ell. \end{cases}$$

Применяя проекционно-сеточный метод, приближенное решение задачи (66) ищем в виде (44). В результате приходим к следующей задаче Коши для системы нелинейных обыкновенных дифференциальных уравнений относительно $w(t) = (v_1(t), \dots, v_{N+M}(t), x_0(t))$:

$$\dot{w} = \mathcal{D}(t, w), \quad w(0) = w_I(t_1), \quad (68)$$

где $w_I(t_1)$ - значение решения системы (47) в момент переключения управления,

$$\mathcal{D} = (\mathcal{D}_i)_{i=1}^{N+M+1}, \quad \mathcal{D}_i = \frac{\det R_i}{\det \mathcal{A}}, \quad \mathcal{A} = (\mathcal{A}_{ij})_{i,j=1}^{N+M+1}, \\ R_\kappa = (R_{\kappa,ij})_{i,j=1}^{N+M+1}, \quad \kappa = \overline{1, N+M+1},$$

$$R_{\kappa,ij} = \begin{cases} \mathcal{A}_{ij}, & j \neq \kappa, \\ B_i, & j = \kappa, \end{cases} \quad \mathcal{A}_{ij} = \mathcal{A}_{ji}, \quad i, j = \overline{1, N+M},$$

$$\mathcal{A}_{ij} = \frac{1}{2a_i^2} (x_i - x_{i-1})(x_j - x_{j-1})(x_j + x_{j-1} - 2\ell), \quad j = \overline{1, N}, \quad i \leq j-1,$$

$$A_{ij} = \frac{1}{2a_i^2} (x_i - x_{i-1})(x_j - x_{j-1})(x_j + x_{j-1} - 2l), \quad j = \overline{N+1, N+M}, \quad i \leq j-1,$$

$$A_{ii} = \frac{x_i - x_{i-1}}{3a_i^2} [2x_i^2 - x_{i-1}^2 - x_i x_{i-1} - 3l(x_i - x_{i-1})], \quad i = \overline{1, N},$$

$$A_{ii} = -\frac{x_i - x_{i-1}}{3a_i^2} [2x_i^2 - x_{i-1}^2 - x_i x_{i-1} - 3l(x_i - x_{i-1})], \quad i = \overline{N+1, N+M},$$

$$A_{N+M+1, j} = -(x_j - x_{j-1})(l - x_0)/a_i^2, \quad j = \overline{1, N},$$

$$A_{N+M+1, j} = \frac{x_j - x_{j-1}}{2a_i^2} (x_j + x_{j-1} - 2l), \quad j = \overline{N+1, N+M},$$

$$A_{i, N+M+1} = \sum_{j=1}^{N+M} F_{ij} x_j - Q K_i(x_0), \quad i = \overline{1, N+M},$$

$$F_{ij} = \frac{x_i - x_{i-1}}{a_i^2 N} [j(l - x_j) - (j-1)(l - x_{j-1})], \quad j = \overline{1, N}, \quad i \leq j-1,$$

$$F_{ii} = \frac{x_i - x_{i-1}}{2a_i^2 N} [2i(l - x_i) - (i-1)(2l - x_i - x_{i-1})], \quad i = \overline{1, N},$$

$$F_{ij} = \frac{x_i - x_{i-1}}{2a_i^2 N} (2l - x_i - x_{i-1}), \quad j = \overline{1, N}, \quad i > j,$$

$$F_{ij} = \frac{x_i - x_{i-1}}{a_i^2 M} [(M+N-j)(l - x_j) - (M+N+1-j)(l - x_{j-1})], \quad j = \overline{N+1, N+M}, \quad i \leq j-1,$$

$$F_{ii} = \frac{x_i - x_{i-1}}{2a_i^2 M} [2(M+N-i)(l - x_i) - (M+N+1-i)(2l - x_i - x_{i-1})], \quad i = \overline{N+1, N+M},$$

$$F_{ij} = -\frac{x_i - x_{i-1}}{2a_i^2 M} (2l - x_i - x_{i-1}), \quad j = \overline{N+1, N+M}, \quad i > j,$$

$$K_i(x_0) = -(x_i - x_{i-1})(l - x_0), \quad i = \overline{1, N},$$

$$K_i(x_0) = -(x_i - x_{i-1})(2l - x_i - x_{i-1})/2, \quad i = \overline{N+1, N+M};$$

$$\mathcal{H}_{N+M+1, N+M+1} = \sum_{i=1}^{N+M} F_i(x_0, x_0) v_i - Q K(x_0, x_0),$$

$$K(x_0, x_0) = -(l - x_0), \quad F_i(x_0, x_0) = \frac{l - x_0}{\alpha_i^2 N}, \quad i = \overline{1, N},$$

$$F_i(x_0, x_0) = \frac{1}{\alpha_i^2 M} [(M+N-i)(l-x_i) - (M+N+1-i)(l-x_{i-1})], \quad i = \overline{N+1, N+M};$$

$$B_i = (x_i - x_{i-1})(v_i + l v_i(t)) - \frac{\varepsilon \sigma}{\lambda_1^4} K_i(0) v_i^4, \quad i = \overline{1, N+M},$$

$$B_{N+M+1} = v_{N+M} + l v_{N+M}(t) - \frac{\varepsilon \sigma}{\lambda_2^4} K(x_0, 0) v_{N+M}^4, \quad K(x_0, 0) = -(l - x_0),$$

$$2K_i(0) = -(x_i - x_{i-1})(2l - x_i - x_{i-1}), \quad i = \overline{1, N+M}.$$

4. Численный расчет оптимального управления процессом плавления пластины.

Итак, задача оптимального управления нестационарным температурным полем пластины на каждом этапе сведена к решению задачи Коши для системы нелинейных обыкновенных дифференциальных уравнений. Численное решение задач Коши (18) и (53), полученных с помощью метода Лейбензона (метод I), и задач Коши (31), (32) и (62), (63), выведенных с использованием метода осреднения функциональных поправок (метод II), реализовано на ЭВМ ЕС-1060.

Расчеты проводились при следующих геометрических и теплофизических параметрах: $l = 0,1$ м; $P(t) = P_0 = q_0 - \varepsilon \sigma u_n^4 - Q_{иск}(u_n)$; $q_0 = 80 \cdot 10^5$ ккал/(час·м²) = 1 квт/см²; $\lambda_1 = 100$ ккал/(м·час·°К); $\lambda_2 = 115$ ккал/(м·час·°К); $u_n = 2300$ °К; $\varepsilon = 0,4$; $\sigma = 4,9 \cdot 10^{-8}$ ккал/

$/(m^2 \cdot \text{час} \cdot ^\circ K^4)$; $Q = 5,1 \cdot 10^5 \text{ ккал}/m^3$; $\alpha_1^s = 0,15 \text{ м}^2/\text{час}$; $\alpha_2^t = 0,17 \text{ м}^2/\text{час}$; $\alpha_1 = 1,96 \cdot 10^{-10} \text{ м}^{-1} \cdot ^\circ K^{-3}$; $\alpha_2 = 1,7 \cdot 10^{-10} \text{ м}^{-1} \cdot ^\circ K^{-3}$; $Q_{\text{исп}}(u) = \lambda_1 (\alpha u - \beta)$, $2900^\circ K \leq u \leq 4000^\circ K$, $\alpha = 57,33328$; $\beta = 166266,4$; $x^* = 0,03 \text{ м}$. Начальное распределение температуры принималось в виде $u_p(x) = z_0 (x_0 x^3 + 1)$.

На рис. 1 представлены кривые зависимости $x_0(t)$, полученные с помощью метода I (кривая 1) и метода II (кривая 2), а в таблице приведены соответствующие числовые значения $x_0(t)$ на первом этапе управления, когда они практически совпадают.

t , час	x_0 , см (метод I)	x_0 , см (метод II)
0	10	10
10^{-4}	9,892112	9,899592
$2 \cdot 10^{-4}$	9,764260	9,786171
$3 \cdot 10^{-4}$	9,628367	9,681129
$4 \cdot 10^{-4}$	9,542638	9,583169
$5 \cdot 10^{-4}$	9,458679	9,491104
$7 \cdot 10^{-4}$	9,309292	9,321511
10^{-3}	9,088260	9,095657
$1,3 \cdot 10^{-3}$	8,890092	8,896136
$1,5 \cdot 10^{-3}$	8,775061	8,775728
$1,7 \cdot 10^{-3}$	8,664089	8,664133
$2 \cdot 10^{-3}$	8,498347	8,503270
$2,5 \cdot 10^{-3}$		8,267492
$3 \cdot 10^{-3}$		8,058447
$3,5 \cdot 10^{-3}$		7,870424
$3,7 \cdot 10^{-3}$		7,800072

На рис. 2 показаны графики изменения температуры на поверхности $X=l$, а на рис. 3 - оптимальное управление на первом этапе нагрева, где кривые 1, I_0 получены методом I, кривые 2, 2_0 - методом II. Кривые I_0 , 2_0 представляют оптимальное управление, найденное без учета потерь испарением ($\mu = 0$). Время переключения управления и соответствующее значение $x_0(t_1)$ равно: $t_1 = 2 \cdot 10^{-3}$, $x_{01} = 8,498347 \text{ см}$ (метод I), $t_1 = 3,7 \cdot 10^{-3}$, $x_{01} = 7,800072 \text{ см}$ (метод II), а время отключения управления соответ-

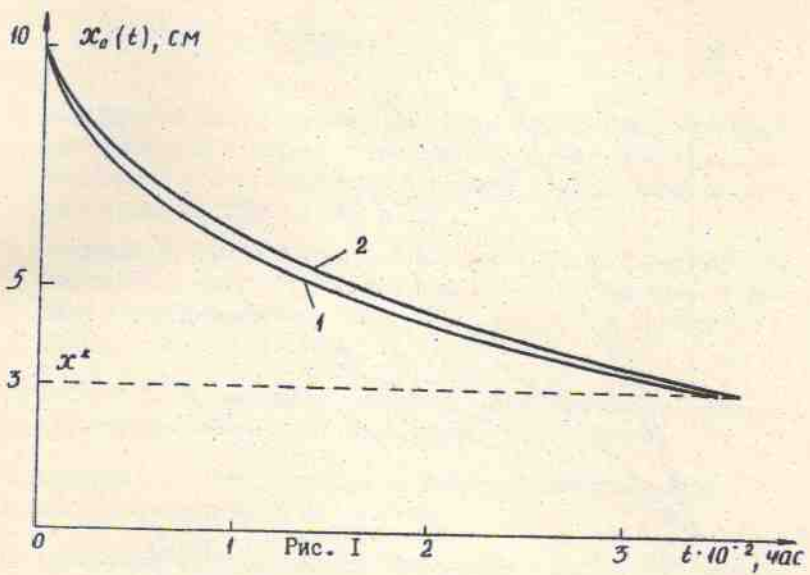


Рис. 1

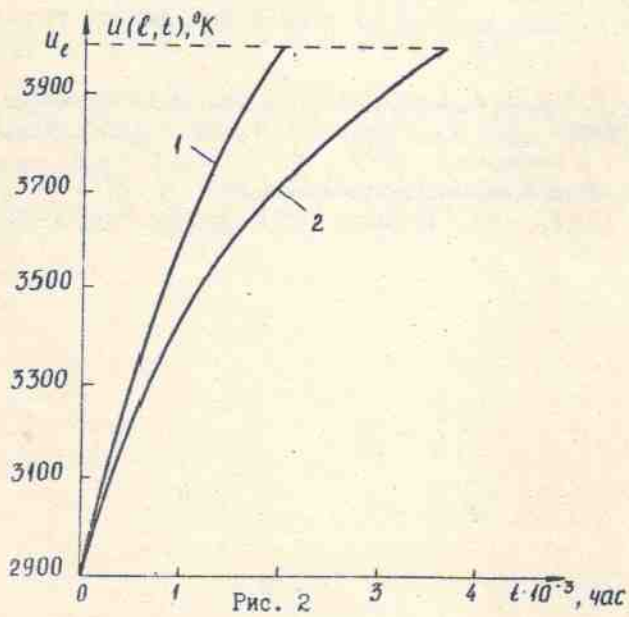


Рис. 2

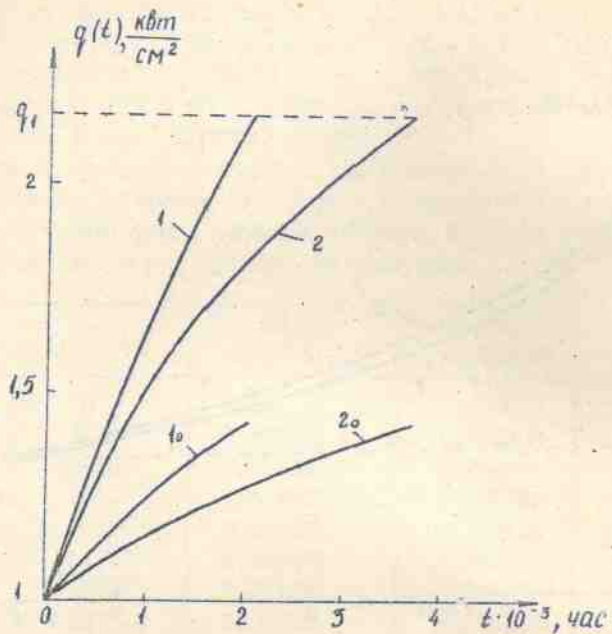


Рис. 3

ственно - $t_0 = 3,5 \cdot 10^{-2}$ и $t_0 = 3,6 \cdot 10^{-2}$. Управление на втором этапе принято равным $q_1 = 2,15$ квт/см² ($\mu = 1$) и $q_1 = 1,43$ квт/см² ($\mu = 0$), а температура $u(l,t) = u_2 = 4000^\circ\text{K}$. Температура на поверхности $X = 0$ изменяется от значения $u(0,0) = z_0 = 2367^\circ\text{K}$ до $u(0,t_0) = 2658^\circ\text{K}$ (метод I) и $u(0,t_0) = 2629^\circ\text{K}$ (метод II).

Литература

1. Березовский А.А., Довбня В.Д. Математические модели тепловых процессов в автотигле при электронно-лучевой гарнисажной плавке.- В кн.: Нелинейные краевые задачи. Киев: Ин-т математики АН УССР, 1980, с.41-57.
2. Андреева Т.А., Березовский А.А., Довбня В.Д. К расчету температурного поля автотигля.- В кн.: Нелинейные краевые задачи теплопроводности. Киев, 1982, с.3-8.- (Препринт/ АН УССР, Ин-т математики; 82,3).
3. Вигак В.М. Оптимальное управление нестационарными температурными режимами.-Киев: Наук.думка, 1979.- 359 с.
4. Соколов В.Д. Метод осреднения функциональных поправок. - Киев: Наук.думка, 1967. - 336 с.
5. Постольник Ю.С. Одномерный конвективный нагрев при зависящем от времени коэффициенте теплообмена.-Инж.физ.журн., 1970, 18, 32, с. 316-322.
6. Березовский А.А. Лекции по нелинейным краевым задачам математической физики. Ч.П.- Киев: Наук.думка, 1976.-292 с.
7. Марчук Г.И., Агашков Б.И. Введение в проекционно-сеточные методы. - М.: Наука, 1981. - 416 с.

СО Д Е Р Ж А Н И Е

1. Постановка задачи	3
2. Приближенные решения задачи Стефана (I)-(3), (5), (6)...	6
3. Приближенные решения задачи Стефана (I), (3), (5), (II), (I2)	17
4. Численный расчет оптимального управления процессом плавления пластины	23
Литература	27

Арнольд Анатольевич БЕБРЕЗОВСКИЙ
Василий Михайлович ВИГ'АК
Крив Василийевич ЖЕРНОВОЙ

ОПТИМАЛЬНОЕ УПРАВЛЕНИЕ НЕСТАЦИОНАРНЫМ
ТЕМПЕРАТУРНЫМ ПОЛЕМ ПЛАСТИНЫ ПРИ
ЭЛЕКТРОННО-ЛУЧЕВОЙ ГАРНИСАЖНОЙ ПЛАВКЕ

Препринт

Редактор Н.И.Коваленко

Подп. в печ. 18.12.84 БФ 41030 . Формат 60x84/16. Бумага тип.
Офс. печать. Усл. печ. л. 1.63. Уч.-изд. л. 1.4 . Тираж 200 экз.
Заказ 19 Цена 15 коп.

Подготовлено и отпечатано в Институте математики АН УССР
252601, Киев, ГСП, ул. Рейна, 3.